

Ю.О. Давиденко, к.т.н., доцент, К.Ю. Фролов, асистент,  
А.В. Фургас, студент, О.О. Горюн, студент

*Полтавський національний технічний університет імені Юрія Кондратюка*

## ДОСЛІДЖЕННЯ ЗАЛЕЖНОСТІ МОМЕНТУ ОПОРУ ПЕРЕРІЗУ ДЕБАЛАНСНОГО ВАЛА ВІД ГЛИБИНИ КАНАВКИ ПІД СФЕРИЧНУ ШПОНКУ В ПРОГРАМІ «MAPLE 13»

У статті наведено результати дослідження дебалансних валів – обов'язкової деталі керованих дебалансних машин. Детально розглянуто алгоритм визначення такого динамічного параметра, як момент опору перерізу. За допомогою програми математичного моделювання «Maple 13» досліджуються функціональні залежності моменту опору перерізу  $W_x$  дебалансного вала з вирізами під сферичну шпонку від радіуса вала  $R$ , радіуса сферичної шпонки  $r$  і глибини канавки під сферичну шпонку  $h_k$ .

**Ключові слова:** момент опору, дебалансний вал, шарова шпонка.

**Постановка проблеми.** Осьовий момент опору перерізу є визначальним параметром при проектуванні багатьох деталей. При його розрахунках використовуються стандартні формули, наведені в роботах [1–3] та інших підручниках із дисципліни «Опір матеріалів».

**Аналіз останніх досліджень і публікацій.** На даний момент при виготовленні дебалансних валів використовуються стандартні параметри – глибина канавки під шарову шпонку приймається рівною радіусу цієї шпонки [4–9]. Момент опору такого перерізу є незмінним, хоча для багатьох випадків його значення можна підвищити, використавши залежності, наведені в статті.

**Виділення не розв'язаних раніше частин загальної проблеми, яким присвячується стаття.** На ефективне використання дебалансних машин впливає момент опору перерізу вала, а використовуючи його функціональні залежності від розмірів канавки, можна підвищити цю ефективність та визначити зміну його властивостей залежно від відповідних розмірів.

**Метою** цієї роботи є дослідження впливу зміни форми перерізу на величину його осьового моменту опору за допомогою програми математичного моделювання «Maple 13».

**Виклад основного матеріалу.** Досліджуваний переріз має вигляд, зображений на рисунку 1.

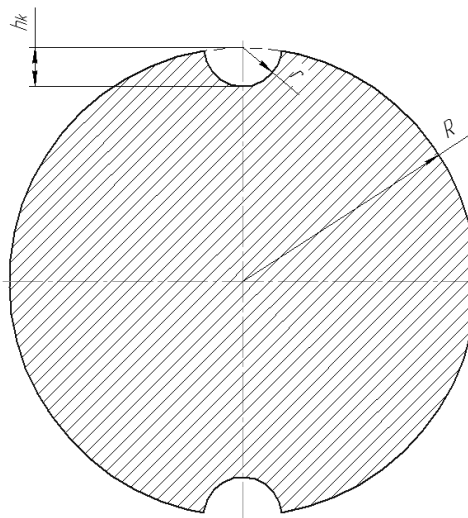


Рисунок 1 – Переріз дебалансного вала з вирізами під шарові шпонки:

$R$  – радіус дебалансного вала, мм;

$r$  – радіус шарової шпонки, мм;

$h_k$  – глибина канавки під шарову шпонку, мм

Згідно з роботою [1, с. 210], момент опору перерізу можна визначити як

$$W = \frac{J}{l_{max}}, \quad (1)$$

де  $J$  – осьовий момент інерції перерізу, мм<sup>4</sup>;

$l_{max}$  – довжина перпендикуляра, опущеного з крайньої точки перерізу на відповідну вісь, мм.

Для даного перерізу відповідно до даних роботи [10, с. 243] визначено, що довжина відповідного перпендикуляра для функції осьового моменту опору перерізу відносно *осі x* дорівнює

$$l_{max} = \frac{R^2 + a^2 - r^2}{2 \cdot a}, \quad (2)$$

де  $a$  – довжина відрізка між центрами мас перерізу дебалансного валу та шарової шпонки, мм.

Для дослідження впливу глибини канавки під шарову шпонку  $h_k$  на величину осьового моменту опору перерізу відносно *осі x* у роботі [10, с. 243] для даного перерізу була отримана залежність

$$a = R + r - h_k. \quad (3)$$

У праці [10, с. 243] була отримана функція моменту інерції перерізу дебалансного валу з вирізами під шарові шпонки відносно *осі x*

$$\begin{aligned} J_x = 4 \times \left[ \frac{R^4}{24} \times \left( \frac{1}{4} \times \sin(4 \arcsin\{-k\}) + 2 \times \sin(2 \arcsin\{-k\}) + \right. \right. \\ \left. \left. + 3 \arcsin\{-k\} + \frac{3 \cdot \pi}{2} \right) + \frac{r}{3} \times \left( \frac{a^3 \cdot k \cdot R}{r} - \frac{3 \cdot a^2 \cdot r}{2} \times \right. \right. \\ \left. \left. \times \left( -\frac{1}{2} \times \sin\left(2 \arcsin\left\{-\frac{k \cdot R}{r}\right\}\right) - \arcsin\left\{-\frac{k \cdot R}{r}\right\}\right) + \frac{3 \cdot a \cdot r^2}{4} \times \right. \right. \\ \left. \left. \times \left( -\frac{1}{3} \sin\left(3 \arcsin\left\{-\frac{k \cdot R}{r}\right\}\right) + \frac{3 \cdot k \cdot R}{r} \right) - \frac{r^3}{8} \times \left( -\frac{1}{4} \times \right. \right. \right. \\ \left. \left. \times \sin\left(4 \arcsin\left\{-\frac{k \cdot R}{r}\right\}\right) - 2 \times \sin\left(2 \arcsin\left\{-\frac{k \cdot R}{r}\right\}\right) - 3 \times \right. \right. \\ \left. \left. \left. \times \arcsin\left\{-\frac{k \cdot R}{r}\right\}\right) \right) \right]. \quad (4) \end{aligned}$$

Підставимо вирази (2) та (4) у формулу (1)

$$\begin{aligned} W_x = \left\{ 4 \left( \frac{R^4}{24} \left( \frac{1}{4} \sin(4 \arcsin(-k)) + 2 \sin(2 \arcsin(-k)) + \right. \right. \right. \\ \left. \left. + 3 \arcsin(-k) + \frac{3\pi}{2} \right) + \frac{r}{3} \left( \frac{a^3 k R}{r} - \frac{3 a^2 r}{2} \times \left( -\frac{1}{2} \sin\left(2 \arcsin\left(-\frac{k R}{r}\right)\right) - \right. \right. \right. \\ \left. \left. - \arcsin\left(-\frac{k R}{r}\right) \right) + \frac{3 a r^2}{4} \times \left( -\frac{1}{3} \sin\left(3 \arcsin\left(-\frac{k R}{r}\right)\right) + \frac{3 k R}{r} \right) - \frac{r^3}{8} \times \right. \\ \left. \times \left( -\frac{1}{4} \sin\left(4 \arcsin\left(-\frac{k R}{r}\right)\right) - 2 \sin\left(2 \arcsin\left(-\frac{k R}{r}\right)\right) - \right. \right. \\ \left. \left. - 3 \arcsin\left(-\frac{k R}{r}\right) \right) \right) \right\} / \left\{ \frac{R^2 + a^2 - r^2}{2 \cdot a} \right\}. \quad (5) \end{aligned}$$

Для отримання безпосередньо залежності моменту опору перерізу від радіусів валу та шарової шпонки, а також глибини канавки підставимо залежність (3) у формулу (5)

$$W_x = \left\{ \left( \frac{R^4}{6} \left( \frac{1}{4} \sin(4 \arcsin(-k)) + 2 \sin(2 \arcsin(-k)) + \right. \right. \right.$$

$$\begin{aligned}
& + 3 \arcsin(-k) + \frac{3 \times \pi}{2} \Big) + \frac{4r}{3} \times \left( \frac{(R+r-h_k)^3 kR}{r} - \right. \\
& - \frac{3(R+r-h_k)^2 r}{2} \times \left( -\frac{1}{2} \sin\left(2 \arcsin\left(-\frac{kR}{r}\right)\right) - \arcsin\left(-\frac{kR}{r}\right) \right) + \\
& + \frac{3(R+r-h_k)r^2}{4} \times \left( -\frac{1}{3} \sin\left(3 \arcsin\left(-\frac{kR}{r}\right)\right) + \frac{3kR}{r} \right) - \\
& - \frac{r^3}{8} \left( -\frac{1}{4} \sin\left(4 \arcsin\left(-\frac{kR}{r}\right)\right) - 2 \sin\left(2 \arcsin\left(-\frac{kR}{r}\right)\right) - \right. \\
& \left. - 3 \arcsin\left(-\frac{kR}{r}\right) \right) \Big) \Big\} / \left\{ \frac{2R^2+h^2+2Rr-2rh-2h_kR}{2 \times (R+r-h_k)} \right\} \quad (6)
\end{aligned}$$

Отримана функція (6) відображує вплив глибини канавки під шарову шпонку на момент опору вала відносно осі  $x$ , при цьому величини  $R$  і  $r$  – змінні, тобто вибираються для кожного вала.

Для спрощення запису формули коефіцієнт  $k$  виразимо окремо. Згідно з даними роботи [10, с. 243] коефіцієнт  $k$  можна визначити за формулою

$$k = + \sqrt{\frac{R^2 - y^2}{R^2}} \quad (7)$$

де  $y$  – координата перетину дуг дебалансного вала та шарової шпонки відносно осі  $y$ , мм.

Для визначення значення  $y$  було отримано залежність (2).

Підставимо вираз (3) в залежність (2)

$$\begin{aligned}
y = (R^2 + (R+r-h_k)^2 - r^2) / (2 \cdot (R+r-h_k)) = (R^2 + \frac{h_k^2}{2} + Rr - rh_k - \\ - h_k R) / (R+r-h_k). \quad (8)
\end{aligned}$$

У формулі (7) використовується квадрат координати перетину дуг дебалансного вала та шарової шпонки відносно осі  $y$ . Для спрощення перетворень окремо знайдемо квадрат  $y$  (8)

$$y^2 = (R^2 + \frac{h_k^2}{2} + Rr - rh_k - h_k R)^2 / (R+r-h_k)^2. \quad (9)$$

У зв'язку з тим, що в довідниках ([11–13] та інших) немає готової формули для піднесення чисельник до квадрата, далі використовуємо принцип, який полягає в тому, що вирази в дужках групуємо й поштучно замінюємо проміжними значеннями для використання стандартних формул. У даному випадку нехай

$$R^2 + Rr - h_k R \equiv a \text{ та } \frac{h_k^2}{2} - rh_k \equiv b$$

тоді

$$\begin{aligned}
y^2 &= \frac{(a+b)^2}{(R+r-h_k)^2} = \frac{a^2 + 2ab + b^2}{(R+r-h_k)^2} = \\
&= (R^4 + (rR)^2 + 2(h_k R)^2 + 2R^3 r - 4R^2 r h_k - 2R^3 h_k + 3h_k^2 r R - Rh_k^3 - \\
&\quad - 2r^2 R h_k + \frac{h_k^4}{4} - h_k^3 r + (r h_k)^2) / (R+r-h_k)^2. \quad (10)
\end{aligned}$$

Для отримання остаточної залежності підставляємо вираз (10) у формулу (7)

$$\begin{aligned}
k = + \sqrt{\frac{R^2 - y^2}{R^2}} = + \frac{\sqrt{R^2 - y^2}}{R} = \{ [R^2 - (R^4 + (R \cdot r)^2 + 2 \cdot (h_k \cdot R)^2 + \\ + 2 \cdot R^3 \times r - 4 \cdot R^2 \cdot r \cdot h_k - 2 \cdot R^3 \cdot h_k + 3 \cdot h_k^2 \cdot R \cdot r -
\end{aligned}$$

$$\begin{aligned}
& -h_k^3 \cdot R - 2 \cdot R \cdot r^2 \cdot h_k + \frac{h_k^4}{4} - h_k^3 \cdot r + (r \cdot h_k)^2 / (R + r - h_k)^2 \Big]^{1/2} / R = \\
& = (-R^2 \cdot h_k^2 + 2 \cdot R^2 \cdot r \cdot h_k - 3 \cdot R \cdot r \cdot h_k^2 + R \cdot h_k^3 + 2 \cdot R \cdot r^2 \cdot h_k - \frac{h_k^4}{4} + \\
& \quad + h_k^3 \cdot r - (r \cdot h_k)^2)^{1/2} / (R + r - h_k) \cdot R. \tag{11}
\end{aligned}$$

Отримані рівняння розв'язані за допомогою програми математичного моделювання «Maple 13» графічним методом. Використано команду  $plot(F(x), x)$ , де  $F(x)$  – функція, залежна від  $x$ ,  $x$  – невідома, що досліджується. Метод полягає у побудові графіка, спочатку в межах від 0 до 1, при цьому більша межа залежить від радіуса вала та задається у команді після невідомої. Далі за допомогою масштабування досліджуємо ділянку графіка, де момент опору в даному випадку максимальний, для цього зменшуємо межі ділянки для отримання необхідної точності. Було розраховано декілька значень  $h_k$  для валів із різними значеннями  $R$  та  $r$ . Наприклад, для вала з  $R = 12,5$  мм та  $r = 4$  мм графіки мають вигляд, зображений на рис. 2 і 3.

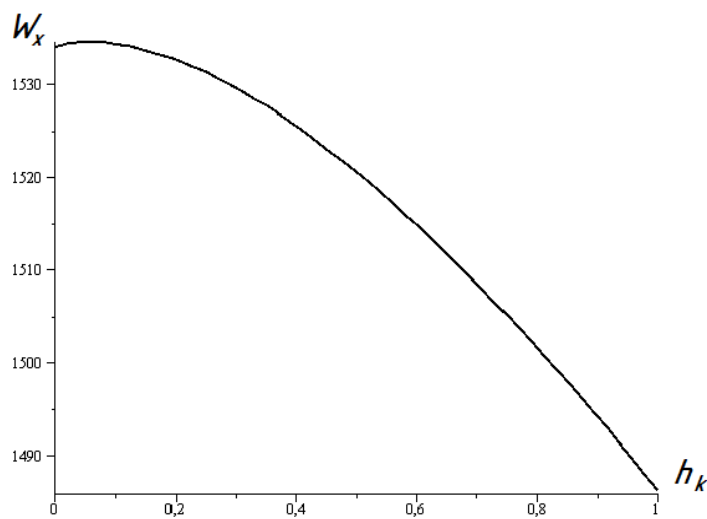


Рисунок 2 – Графік залежності  $W_x$  від  $h_k$  (межі від 0 до 1)

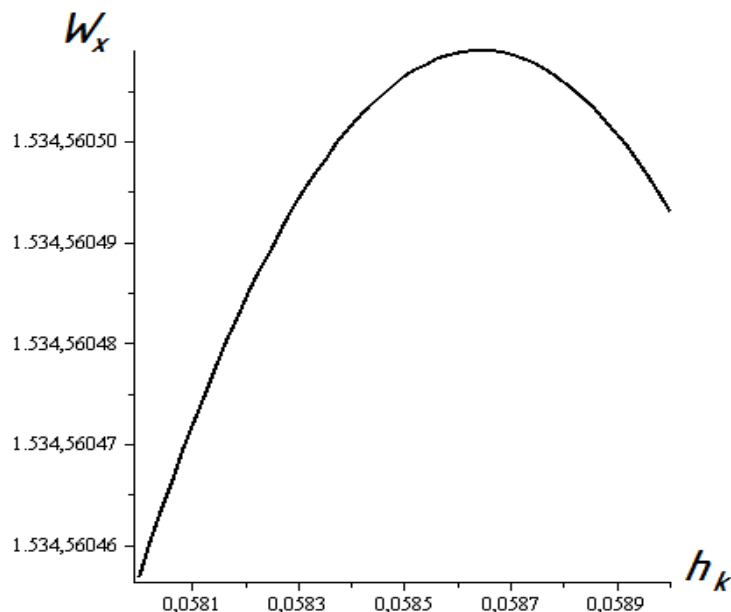


Рисунок 3 – Графік залежності  $W_x$  від  $h_k$  (межі від 0,058 до 0,059)

Очевидно, що найбільше значення  $W_x$  досягається при  $h_k = 0,0587$  см, ( $W_x = 1534,56051$  мм<sup>3</sup>). Якщо ж використати стандартні значення, за яких  $h_k = r$ , то  $W_x = 1161,172$  мм<sup>3</sup>.

Для вала з  $R=25$  мм та  $r=8$  мм графіки мають вигляд, наведений на рис. 4 і 5.

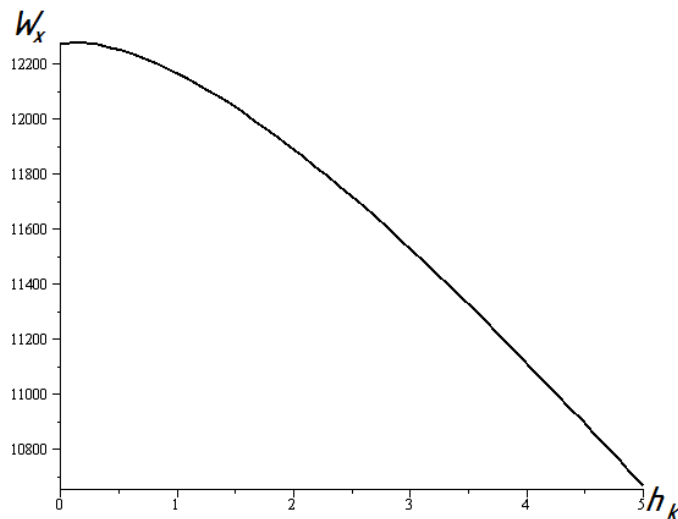


Рисунок 4 – Графік залежності  $W_x$  від  $h_k$  (межі від 0 до 5)

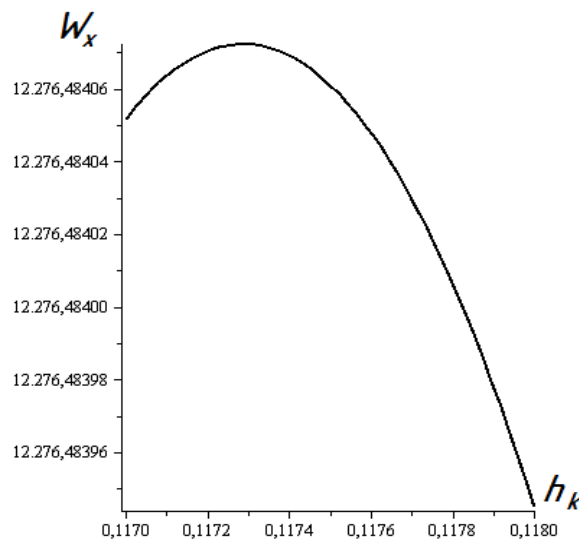


Рисунок 5 – Графік залежності  $W_x$  від  $h_k$  (межі від 0,117 до 0,118)

З графіків можна визначити точне значення глибини канавки, при цьому одразу відомо момент опору в даному випадку.

Отримані результати також були перевірені за допомогою програми «Mathcad 14».

**Висновки з дослідження.** Момент опору перерізу дебалансного вала з вирізами під шарові шпонки відносно осі  $x$  можна збільшити, зменшивши глибину канавки під шарову шпонку. Отримані залежності доцільно використати для більш ефективного проектування дебалансних валів.

#### Література

1. Писаренко, Г.С. Опір матеріалів: підручник / Г.С. Писаренко, О.Л. Квітка, С. Уманський; за ред. Г.С. Писаренка. – К.: Вища шк., 1993. – 655 с.
2. Горшков, А.Г. Сопротивление материалов: учебн. пос. / А.Г. Горшков, В.П. Трошин, В.И. Шалашилин; 2-е изд., испр. – М.: ФИЗМАТЛИТ, 2005. – 544 с.
3. Подскребко, М. Д. Сопротивление материалов: учебник / М. Д. Подскребко. – Минск: Выш. шк., 2007. – 797 с.:ил.

4. Сердюк, Л.И. Основы теории, расчет и конструирование управляемых вибрационных машин с дебалансными возбудителями: дисс. ... докт. техн. наук / Сердюк, Л.И. – Харьков, 1991. – 301 с.
5. Черевко, А.Н. Разработка и исследование низкочастотных виброплощадок с управляемыми режимами работы для формования железобетонных изделий: дисс. ... канд. техн. наук / Черевко, А.Н. – Полтава, 1993. – 157 с.
6. Давиденко, Ю.О. Розробка та дослідження керованої віброплощадки для ущільнення легких бетонів: дис. ... канд. техн. наук / Давиденко, Ю.О. – Полтава, 1999. – 181 с.
7. Жигилий, С.М. Управляемая вибрационная машина для подготовки металлической фибры: дис. канд. техн. наук / Жигилий, С.М. – Полтава, 1997. – 192 с.
8. Осина, Л.М. Разработка смесителя для приготовления фибробетонной смеси на базе управляемого вибровозбудителя: дисс. канд. техн. наук / Осина, Л.М. – Полтава, 2000. – 192 с.
9. Гнітько, С.М. Пристрій для вібраційного ущільнення бетонних сумішей та переміщення виробів: дис. ... канд. техн. наук / Гнітько, С.М. – Полтава, 1999. – 186 с.
10. Фролов, К.Ю. Визначення моменту інерції перерізу дебалансного вала керованого вібровозбуджувача / К.Ю. Фролов // Збірник наукових праць (галузеве машинобудування, будівництво). – Полтава: ПолтНТУ, 2009. – Випуск 3 (25), том 1. – С. 239–244.
11. Двайт, Г.Б. Таблицы интегралов и другие математические формулы / Г.Б. Двайт. – М.: Государственное издательство иностранной литературы, 1948. – 256 с.
12. Цыпкин, А.Г. Математические формулы. Алгебра. Геометрия. Математический анализ: справочник / А.Г.Цыпкин, Г.Г.Цыпкин. – М.: Наука. Гл. ред. физ.-мат. лит.-ры, 1985. – 128 с.
13. Справочник по высшей математике / под ред. М.Я. Выгодского. – М.: АСТ: Астрель, 2006. – 991с.

Надійшла до редакції 04.04. 2011

© Ю. О. Давиденко, К. Ю. Фролов, А. В. Фургас, О.О. Горюн

## ИССЛЕДОВАНИЕ ЗАВИСИМОСТИ МОМЕНТА СОПРОТИВЛЕНИЯ СЕЧЕНИЯ ДЕБАЛАНСНОГО ВАЛА ОТ ГЛУБИНЫ КАНАВКИ ПОД СФЕРИЧЕСКУЮ ШПОНКУ В ПРОГРАММЕ «MAPLE 13»

*В статье приводятся результаты исследования дебалансных валов – обязательной детали управляемых дебалансных машин. Подробно рассмотрен алгоритм определения такого динамического параметра, как момент сопротивления сечения. При помощи программы математического моделирования «Maple 13» исследуются функциональные зависимости момента сопротивления сечения  $W_x$  дебалансного вала с вырезами под шаровую шпонку от радиуса вала  $R$ , радиуса сферической шпонки  $r$  и глубины канавки под сферическую шпонку  $h_k$ .*

**Ключевые слова:** момент сопротивления, дебалансный вал, шаровая шпонка.

## RESEARCH OF AN DEBALANCED SHAFTS MODULUS OF SECTION DEPENDANCY FROM THE DEPTH OF A SHERICAL DOWELS CUTOUT BY USING A MAPLE 13 PROGRAM

*This article contains the results of research of an debalanced shaft, a mandatory part of controllable debalanced machines. An algorithm of a modulus of section dynamic parameter determination is viewed in detail. Functional dependencies of modulus of section  $W_x$  from the shafts radii  $R$ , spherical dowels radii  $r$  and the cutout's depth for the spherical dowel  $h_k$  for an debalanced shaft with a spherical dowel cutout are researched by using a mathematical modeling program Maple 13.*

**Key words:** modulus of section, debalanced shaft, spherical dowel.